

東海大学 正員 宇都一馬 冬木衛 桜井学

1. まえがき

筆者らは、指數関数系の回帰式 $y = a \{1 - e^{-(\frac{x}{b})^m}\}$, $y = a e^{-(\frac{x}{b})^m}$ ($m < 0$ あるいは $m > 0$) を用いて、主觀を入れずに ①杭や地盤の載荷試験から得られる荷重・変位曲線、地盤反力係数・変位曲線^{1)~6)}, ②標準貫入試験から得られる打撃回数⁷⁾⁸⁾

・累計貫入量曲線、③一軸や三軸圧縮試験から得られる応力・ひずみ曲線、④構造物や盛土などの沈下量・時間曲線⁹⁾、⑤圧密試験から得られる間隙比・圧密圧力曲線⁶⁾などの整理および評価を行なっている。上記回帰式は非線形であるため、回帰係数を求める場合、計算式の展開や計算方法などに若干の工夫が必要であるが、これらの計算方法についてはすでに文献11)~13)で述べた。

今回の報告は、上記回帰式に定数項を加えて、さらに一般化した回帰式の計算方法について、その概要を述べたものである。

2. 数学モデルと回帰係数を求めるための式の展開およびその解法

数学モデルは(1)式、(2)式で示される。

$$y = a \{1 - e^{-(\frac{x}{b})^m}\} + C \quad m > 0 \text{ or } m < 0 \quad (1)$$

$$y = a e^{-(\frac{x}{b})^m} + C \quad m < 0 \text{ or } m > 0 \quad (2)$$

ここに、 m 、 C は正あるいは負の符号をもつ値で、 a 、 b は正の値である。(1)式、(2)式は、それぞれ統計学で扱うワイブル分布曲線($m=1$ のとき指數分布曲線)、コーシー分布曲線に対応する。(1)式の y および C を a で割って規準化し、 $C/a=0.1$ として m をパラメータとして描いたものが図-1である。

以下に、(1)式、(2)式の回帰係数 m 、 a 、 b および C を求めるための式を展開するが、この2つの式はほぼ同じ操作をすることになるので、(1)式を中心にして述べ、(2)式については特に必要な部分のみを列挙する。

(1)式の回帰モデルを(3)式とする。

$$y = a \{1 - e^{-(\frac{x}{b})^m}\} + C + \varepsilon \quad \varepsilon: \text{誤差項} \quad (3)$$

残差平方和 $S(a, b, C, m)$ は、(3)式に n 組の測定値をあてはめて整理すれば、(4)式で求められる。

$$S(a, b, C, m) = \sum_{i=1}^n \varepsilon_i^2 = \sum_{i=1}^n [y_i - a \{1 - e^{-(\frac{x_i}{b})^m}\} - C]^2 \quad (4)$$

(4)式の残差平方和 $S(a, b, C, m)$ が最小になるように、 a 、 b 、 C 、 m を推進することになる。

(4)式を a 、 b および C について、それぞれ微分し

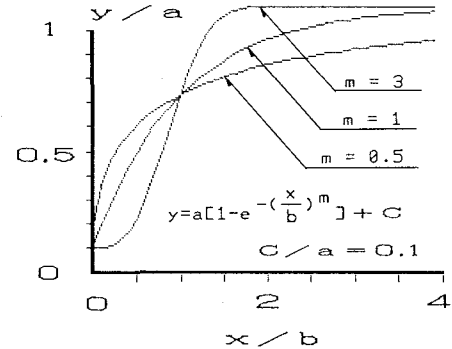


図-1 ワイブル分布曲線

その結果を0と置くことによって、3つの正規方程式が得られる。この3つの式から a について2つの式と C についての式を求め、2つの式の a を、それぞれ a_1 および a_2 とすれば、(5)式、(6)式、(7)式となる。

$$a_1 = (n \cdot F_3 - F_2 \cdot F_4) / (n \cdot F_1 - F_2^2) \quad (5)$$

$$a_2 = (n \cdot F_7 - F_4 \cdot F_6) / (n \cdot F_5 - F_2 \cdot F_6) \quad (6)$$

$$C = (F_4 - a_1 F_2) / n \quad (7)$$

ここに、 $F_1 = \sum_{i=1}^n \{1 - e^{-(\frac{x_i}{b})^m}\}^2$, $F_2 = \sum_{i=1}^n \{1 - e^{-(\frac{x_i}{b})^m}\}$, $F_3 = \sum_{i=1}^n y_i \{1 - e^{-(\frac{x_i}{b})^m}\}$, $F_4 = \sum_{i=1}^n y_i$, $F_5 = \sum_{i=1}^n x_i^m e^{-(\frac{x_i}{b})^m} \{1 - e^{-(\frac{x_i}{b})^m}\}$, $F_6 = \sum_{i=1}^n x_i^m e^{-(\frac{x_i}{b})^m}$, $F_7 = \sum_{i=1}^n x_i^m y_i e^{-(\frac{x_i}{b})^m}$ である。

(5)式から(6)式を引くことによって、 a_1 と a_2 を消去できる。すなわち、(8)式なる形の正規方程式が得られる。

$$f(b, m) = a_1 - a_2 = 0 \quad (8)$$

仕事の m について、(8)式を解けば b を求めることができる。これは、Newton-Raphson法によつて解くことができる。すなわち、反復実数(9)式を用いて、 b の初期値 b_0 、収束精度 b_{EPS} を与えて収束計算すればよい。

$$b_{i+1} = b_i - [f(b, m) / \partial f(b, m) / \partial b]_{b=b_i} \quad (9)$$

$$\begin{aligned} & \text{因此, } \partial f(b, m) / \partial b \\ = & \frac{m}{b^{m+1}} \left(\frac{(-n \cdot F_7 + F_4 F_6)(n \cdot F_1 - F_2^2) - 2(n \cdot F_3 - F_2 F_4)(-n \cdot F_5 + F_2 \cdot F_6)}{(n \cdot F_1 - F_2^2)^2} \right. \\ & \left. - \frac{(n \cdot F_8 - F_4 F_9)(n \cdot F_5 - F_2 F_6) - (n F_7 - F_4 F_6)(n \cdot F_{10} - F_2 F_9 + F_6^2)}{(n \cdot F_5 - F_2 \cdot F_6)^2} \right) \end{aligned}$$

$$F_8 = \sum_{i=1}^n (x_i^{(m)})^2 y_i e^{-\left(\frac{x_i}{b}\right)^m}, \quad F_9 = \sum_{i=1}^n (x_i^{(m)})^2 e^{-\left(\frac{x_i}{b}\right)^m},$$

$$F_{10} = \sum_{i=1}^n (x_i^{(m)})^2 e^{-\left(\frac{x_i}{b}\right)^m} \left\{ 1 - 2e^{-\left(\frac{x_i}{b}\right)^m} \right\} \quad \text{である。}$$

(9)式の収束値を(5)式、あるいは(6)式に代入すれば α を求めることができ、この α を(7)式に代入すれば C が求まる。このときの残差平方和 $S(a, b, C, m)$ を(4)式で求め、これが「最小」になるような m を求めればよいわけである。この手順は文献[3]の図-2にフローチャートとして示してあるので参照されたい。 m の収束計

3. 計算例

表一 1 使用データ

I	X(I)	Y(I)	YH(I)
1	3.61	26.7	27.3
2	6.07	44.4	43.3
3	13.87	88.9	89.8
4	23.27	133.3	132.8
5	45.09	186.7	186.8

であり、Xは変位(mm)、Yは載荷重(t/m^2)である。 m および b の収束精度を 1×10^{-6} として(1)式にこの5組の実測値をあてはめた結果、回帰係数 m 、 a 、 b 、 C 、残差平方和SSRは表-2の(1)の欄に示すような値となった。実測値を白丸でプロットし、計算結果を描いたものが図-2である。実測値Xに対するYの計算値をYHとして表-1に示してある。また、 $y = a + b - (C/m)^m$ を適用した場合の回帰係数を表-2に示してあり、表中、(2)は $m=1$ の場合、(3)は m を考慮した場合の値である。(文献5)図-2参照)

4.まとめ

(1)式、(2)式で示される指數関数系の回帰式を用いて、まえがきで述べた①~⑤のような曲線を評価する手法を提案した。(1)式、(2)式の回帰係数のうち、理論的に固定しうることも考えられるので、このような場合の回帰計算についてには、つぎの機会に述べたい。

参考文献 1) 宇都・冬木・近藤・桜井; クイの載荷試験結果の一整理方法, 第13回土質工学研究発表会, 1978.
 2) 塩井・宇都・冬木・近藤・桜井; 杭の荷重-変位曲線の非線形回帰結果による支持力の一評価法, 第23回土質工学シンポジウム, 1978.
 3) 塩井・光宗・宇都・冬木・桜井; 杭の水平載荷試験での降伏点の評価法, 杭の水平載荷試験に関するシンポジウム, 土質工学会, 1979.
 4) 浅沼・福井・堀部・宇都・冬木・桜井; 各種施工法による杭の支持力について、低振動・低騒音省杭工法の施工法と支持力に関するシンポジウム, 土質工学会, 1982.
 5) 室田・宇都・冬木・桜井; ニューマチックケーン内における平板載荷試験、平板載荷試験に関するシンポジウム, 土質工学会, 1979.
 6) 宇都・冬木・桜井; 指数関数系の回帰式について, 第18回土質工学研究発表会, 1983.
 7) 宇都・冬木・石塚・石塚; 標準貫入試験に関する基礎的研究(3), 第13回土質工学研究発表会, 1978. 8) 桜井・溝口・石塚・冬木・
 宇都; SPTの記録とその整理方法, サウディングシンポジウム, 土質工学会, 1980. 9) 石原・森・木村・宇都・冬木・桜井; 敏弱地盤における橋台水平移動の一予測法, 第26回土質工学シンポジウム, 1981. 10) 石原・小野・有木・宇都・冬木・桜井; アプローチフッショ
 式方式橋台の長期沈下予測, 第24回土質工学シンポジウム, 1979. 11) 宇都・冬木・桜井; 載荷試験から得られる荷重-変位曲線の
 非線形回帰計算について(その1), 第7回東海東部年次研究発表会, 土木学会, 1980. 12) 宇都; コンピュータの利用(主にバーソナル
 コンピュータを対象にして)最近の土質基礎に関する諸問題講習会講演資料, 土質工学会編, 1982. 13) 宇都・冬木・桜井;
 載荷試験から得られる荷重-変位曲線の非線形回帰計算について(その2), 土木学会第37回年次学術講演会, 1982.
 14) 阪口・駒井・余田; 立川砂丘における大型載荷試験結果について(その1), (その2), 第2回土質工学研究発表会, 1977.

算には、フィボナッチ数列を用いると効率がよい。

同様に、(2)式についても以上の手順で収束計算を行えば、回帰係数 a , b , C および m を求めることができる。ただし、この場合(9)式を(9')式に置き換える必要がある。

$$\frac{\partial f(b,m)}{\partial b} = \frac{m}{b^{m+1}} \left[\frac{(n \cdot F_7 - F_4 \cdot F_6)(n \cdot F_1 - F_2^2) - 2(n \cdot F_3 - F_2 \cdot F_4)(n \cdot F_5 - F_2 \cdot F_6)}{(n \cdot F_1 - F_2^2)^2} \right. \\ \left. - \frac{(n \cdot F_8 - F_4 \cdot F_9)(n \cdot F_5 - F_2 \cdot F_6) - (n \cdot F_7 - F_4 \cdot F_6)(2n \cdot F_0 - F_9 \cdot F_2 - F_6^2)}{(n \cdot F_5 - F_2 \cdot F_6)^2} \right] (9)'$$

ここに, $F_1 = \sum_{k=1}^n \{e^{-(\frac{x_k}{b})^m}\}^2$, $F_2 = \sum_{k=1}^n e^{-(\frac{x_k}{b})^m}$, $F_3 = \sum_{k=1}^n y_k e^{-(\frac{x_k}{b})^m}$,
 $F_5 = \sum_{k=1}^n x_k^m \{e^{-(\frac{x_k}{b})^m}\}^2$, $F_{10} = \sum_{k=1}^n \{x_k^m e^{-(\frac{x_k}{b})^m}\}^2$,
 $F_4, F_6 \sim F_9$ は(9)式と同一である。

表-2 回帰係数

	(1)	(2)	(3)
M	1.15931	1.0	1.04960
A	208.576	237.642	225.300
B	24.6142	29.0306	26.1767
C	5.94949	0	0
SSR	2.66917	8.83170	4.24789

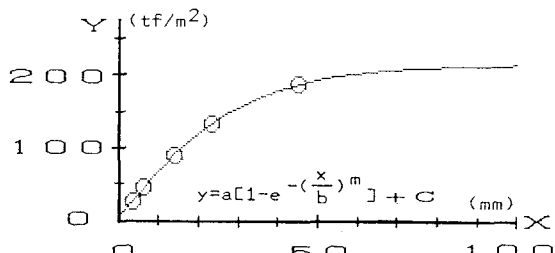


図-2 荷重・変位曲線のあてはめ